

به کارگیری روش غیرخطی منحنی بازگشتی برای شناسایی مؤلفه‌های حافظه‌ای بر مبنای تکثیت

نسیبه طالبی و علی مطیع نصرآبادی
دانشکده‌ی فنی و مهندسی دانشگاه شاهد

چکیده:

هدف از این پژوهش، به کارگیری روش پردازش غیرخطی منحنی‌های بازگشتی روی پتانسیل‌های حافظه‌ای سیگنال‌های مغزی تکثیت و ایجاد تمایز بین گروه‌های قدیم و جدید، مورد بررسی قرار گیرد. دو مؤلفه‌ی مهم حافظه‌ای FN400 و LPC است که بایستی مورد شناسایی قرار گیرد. برای این منظور منحنی‌های بازگشتی مربوط به تکثیت‌های EEG ثبت شده در حین بازیابی حافظه، محاسبه شدند. علاوه‌بر این تحلیل آنالیز کمی‌سازی بازگشت برای کمی‌سازی تغییرات در ساختار دینامیک سیگنال در حین رخداد حافظه، انجام شد. از کمی‌کننده‌های غیرخطی نظریه RR, DET, ENTR, $\langle L \rangle$, Lmax, Vmax و LAM, TT و Vmax استخراج شده و میزان معنادار بودن تفاوت این ویژگی‌ها در دو رخداد قدیم و جدید با استفاده از آزمون‌های آماری مشخص گردید. نتایج نشان می‌دهند که منحنی‌های بازگشتی، توانایی شناسایی گذارهای سیگنال در حوالی ۴۰۰ میلی ثانیه و ۸۰۰ میلی ثانیه را، که به مؤلفه‌های حافظه‌ای مربوط دانسته شده‌اند، دارد. دامنه اندازه‌های غیرخطی این منحنی‌ها ۴۰۰ میلی ثانیه پس از شروع تحریک افزایش می‌یابد که نشان دهنده کاهش بعد سیستم، پس از تحریک است. پس از ۸۰۰ میلی ثانیه این روند افزایش از بین رفته و کاهشی در تمامی اندازه‌ها به‌وقوع می‌پیوندد که می‌تواند میان افزایش بعد و پیچیدگی سیستم و بازگشت به وضعیت پایه‌اش باشد. میانگین اندازه‌های مربوط به رخداد قدیم بیشتر از رخداد جدید است. در مقایسه با روش‌های خطی، منحنی‌های بازگشتی نیاز به متوسط‌گیری ندارد و RQA حتی در تکثیت‌های EEG تمایز بین رخدادهای قدیم و جدید را نشان می‌دهد.

واژگان کلیدی: حافظه، پتانسیل‌های بازگشتی، تحلیل غیرخطی، تحلیل تکثیت

را از پردازش اطلاعات در مغز ارائه دهنده، به عنوان مثال در بسیاری از مطالعات روی بازشناسی حافظه، از این سیگنال‌های وابسته به رخداد استفاده، نشان داده شده است که ERP‌های مربوط به قسمت‌های "قدیمی" (قسمت‌هایی که در قبل مورد مطالعه قرار گرفته‌اند) که به درستی قضاوت شده‌اند نسبت به قسمت‌های "جدید" (قسمت‌هایی که در قبل مطالعه نشده‌اند) دارای دامنه‌ی مثبت‌تری هستند، که در عرف به اثرات قدیم/جدید مشهور هستند (فریدمن و جانسون ۲۰۰۰؛ راگ و آلن، ۲۰۰۰، ژاکوبی ۱۹۹۱، ردر و همکاران ۲۰۰۰). دو تا از این مؤلفه‌های حافظه‌ای که اغلب مشاهده می‌شوند، اثر قدیم/جدید فرونتال زودهنجام (FN400) و دیگری

۱- مقدمه

الکتروانسفالوگرام^۱ (EEG) ابزار غیرتهاجمی ارزشمندی است که برای اندازه‌گیری تغییرات مقیاس کوچک در میدان الکتریکی مغز به‌وسیله‌ی الکترودهای قرار داده شده روی سر به کار می‌رود. مزیت مهم این روش وضوح زمانی بالای آن می‌باشد، که اجازه می‌دهد تغییرات میدان الکتریکی مغز در طول زمان مورد بررسی و مطالعه قرار گیرد. الگوهای مشخصی از این تغییرات الکتریکی که با فعالیت‌های شناختی متناظر دانسته شده‌اند، پتانسیل‌های وابسته به رخداد (ERP) نامیده می‌شوند و می‌توانند بینش مناسبی

¹ Electroencephalogram

² Event related potential

ماکروسکوپی توسط الکتروانسفالوگرام در جمجمه قابل اندازه‌گیری است که از یک پارچه‌سازی فضایی پتانسیل‌های پست سیناپسی نتیجه می‌شود (نوونر ۱۹۱۱) و همچنان در EEG تجزیه و تحلیل این مسئله حل نشده وجود دارد که آیا EEG سری زمانی برخاسته از یک سیستم دینامیک خطی است و روش‌های آنالیز خطی برای آن مناسب‌تر است، یا این‌که از یک سیستم دینامیک غیرخطی برخاسته است و ابزار غیرخطی برای شناسایی رخدادهای مغزی مناسب‌تر می‌باشد (لانگتین و همکاران ۱۹۹۲، ص ۹۴-۷۷). به کارگیری تکنیک‌های غیرخطی برای پردازش سیگنال‌های غیرخطی سابقه‌ای طولانی دارد (برای مثال: بابلویانتر و همکاران ۱۹۸۵، گالتز و بابلویانتر ۱۹۹۱، راپ و همکاران ۱۹۸۶، لوتنزبرگر و همکاران ۱۹۹۲، پیچارد و دوک ۱۹۹۲، استم ۲۰۰۵). بیشتر این تلاش‌ها با محاسبه‌ی بعد همبستگی برای EEG خودبه‌خودی انجام شده است. در حالی‌که بعد همبستگی تنها برای سری‌های زمانی ایستایی، خوش تعریف است که بهوسیله‌ی سیستم دینامیک با بعد پایین تولید می‌شود که اطراف یک جاذب در حال حرکت می‌باشد؛ این اندازه‌ها در بررسی پتانسیل‌های وابسته به رخداد شکست می‌خورند (ساتن و همکاران ۱۹۶۵، ۱۱۱۱-۱۱۱۷)، زیرا این سیگنال‌ها در تعریف غیرایستا هستند (توان سیگنال EEG در باندهای فرکانسی مختلف متغیر با زمان است (وانگ و همکاران ۲۰۰۵)، که این غیرایستایی با واریانس متغیر با زمان مدل می‌شود (وانگ).

یک روش جدید پردازش غیرخطی، بر مبنای منحنی‌های بازگشتی^۵ است. مزیت مهم این روش این است که می‌تواند برای سیگنال‌های غیرایستا نیز به کار برد شود. توماسون در سال ۲۰۰۱ منحنی‌های بازگشتی را بر روی سیگنال‌های مغزی به منظور پیش‌گویی وقوع صرع به کار برد (توماسون و همکاران ۲۰۰۱، ص ۱۰۱-۲۰۰). در سال ۲۰۰۴ مروان از منحنی بازگشتی برای شناسایی گذارها در سیگنال EEG به هنگام وقوع P300 و از کمی‌کننده‌های غیرخطی برای شناسایی تغییرات استفاده کرد. تحقیقات او نشان داد که این کمی‌کننده‌ها می‌توانند وقوع مؤلفه‌ی P300 را حتی در تکثیت‌های EEG نشان دهند که در مقایسه با سیگنال زمانی، واضح بسیار بیشتری داشت. محاسبه‌ی منحنی‌های بازگشتی به شیوه‌ی نوین Order Pattern برای سیگنال‌های ERP به منظور تشخیص P300 توسط (مروان و همکاران ۲۰۰۴، ص ۷۷۱-۷۶۱) و استفاده از همین روش برای

^۵ Recurrence Plots

اثر قدیم/جدید پریتال دیرهنگام^(۱) (LPC) می‌باشد. سیگنال EEG خودبه‌خودی^۲ برای ERP به منزله‌ی نویز می‌باشد و از آن جایی که دامنه‌ی مؤلفه‌های پتانسیل وابسته به رخداد در مقایسه با نویز زمینه، سیار کوچک می‌باشد، یک روش معمول استفاده از متوسط‌گیری است؛ یعنی تعداد زیادی ثبت با یکدیگر، میانگین گرفته می‌شوند تا نرخ سیگنال به نویز (SNR) افزایش پیدا کند. در حالی‌که این رویه، مؤلفه‌های مورد نظر را برجسته می‌کند، ممکن است ابزار مناسبی برای تجزیه و تحلیل نباشد؛ برای این‌که متوسط‌گیری جواب مناسبی بدهد، باید نمونه‌ها سنکرون باشند؛ اما در سیگنال‌های بیولوژیک، پس از تحریک، تأخیر مؤلفه‌ها متغیر با زمان است و با متوسط‌گیری سیگنال هموار^۳ می‌شود (کوتاس و ون‌پتن، ص ۱۴۳-۱۳۳). علاوه‌بر این، سیگنال‌های ERP با توجه به خط پایه^۴ تعریف می‌شوند. خط پایه به صورت دوره‌ای از عدم فعالیت در نظر گرفته می‌شود و به طور معمول در فاصله‌ای قبل از تحریک، متوسط سیگنال به عنوان این خط پایه محاسبه شده و از کل سیگنال کم می‌شود. درنتیجه فعالیت‌های قبل از تحریک روی سیگنال پس از تحریک اثر می‌گذارد. سیگنال‌های ERP حاصل از متوسط‌گیری تکثیت‌های EEG مشکلات دیگری نیز دارند؛ از یک طرف، چون تعداد ثبت‌های لازم برای افزایش نرخ سیگنال به نویز تاحدودی زیاد است در مواردی مثل مطالعات بالینی، مطالعه درباره کودکان یا مطالعاتی که در آن‌ها تکرار آزمایش ممکن است روی عمل کرد فرد تأثیر بگذارد، تعداد زیاد ثبت، مشکل بسیار مهمی می‌باشد. از طرف دیگر چندین ساختار فرکانس بالا که سایر فعالیت‌های مهم مغز را نشان می‌دهند، با استفاده از روش متوسط‌گیری فیلتر شده‌اند. بنابراین، مطلوب است روشی برای تجزیه و تحلیل فعالیت وابسته به رخداد بر اساس تکثیت‌ها پیدا کنیم.

علاوه بر این، نرون‌ها به عنوان دستگاه‌های غیرخطی شناخته شده‌اند؛ زیرا هنگامی فعال می‌شوند که پتانسیل غشای آن‌ها به یک حد آستانه‌ی مشخص برسد (کاندل و شوارترن و جسل ۱۹۹۵). این غیرخطی بودن یکی از ضروریات در مدل‌سازی عصبی است که توابع فعال‌سازی سیگموئید در شبکه‌های عصبی را نتیجه می‌دهد (آمیت ۱۹۱۹). فعالیت گروه بزرگی از نرون‌ها در مقیاس

¹ Late positive component

² autonomous

³ smooth

⁴ baseline



رایانه‌های پرسرعت و دقیق، کشف پوانکاره به صورت عددی مورد استفاده قرار گرفت. در سال ۱۹۸۷، اکمن و همکارانش روش منحنی‌های بازگشتهای (RP) را به منظور تجسم دیداری بازگشتها در سیستم‌های دینامیک، معرفی کردند (اکمن ۱۹۸۷، ص ۹۷۷-۹۷۳).

فرض کنید ترازکتوری $\{\vec{x}_i\}_{i=1}^N$ برای یک سیستم در فضای فاز در اختیار است. بنابراین گسترش سیستم به‌وسیله‌ی مجموعه‌ای از این بردارها توصیف می‌شود، که یک ترازکتوری را در یک فضای مجازی ریاضی نشان می‌دهند. از این‌رو منحنی بازگشتهای متناظر بر اساس ماتریس بازگشتهای زیر تعریف می‌شود:

$$R_{i,j} = \begin{cases} 1: \vec{x}_i \approx \vec{x}_j, \\ 0: \vec{x}_i \not\approx \vec{x}_j, \end{cases} \quad i, j = 1, \dots, N \quad (1)$$

که N تعداد وضعیت‌های در نظر گرفته شده و $\vec{x}_i \approx \vec{x}_j$ به معنی تساوی تا خطأ (یا شعاع) ϵ است. توجه کنید از آنجایی که سیستم‌ها اغلب به طور دقیق به وضعیتی که در قبل مشاهده کرده بودند، بازگشت نمی‌کنند، در نظر گرفتن یک همسایگی ضروری می‌باشد (البته یک استثنای در مورد سیستم‌های پریودیک وجود دارد که پس از یک دوره، بازگشت به طور دقیق به همان وضعیت قبلی است، که در این مورد هم در نظر گرفتن همسایگی مناسب مشکلی در منحنی بازگشتهای ایجاد نمی‌کند). همان‌طور که گفته شد، آسالیز غیرخطی داده‌ها، براساس مطالعه‌ی فضای فاز ترازکتوری‌ها می‌باشد. فرض شود حالت سیستم در لحظه t به صورت

$$\vec{x}(t) = (x_1(t), x_2(t), \dots, x_d(t))^T \quad (2)$$

داده شده که در آن (t) بردار بازسازی شده در فضای فاز و d بعد آن می‌باشد. در تنظیمات عملی، نوعاً امکان دسترسی به تمام متغیرهای حالت وجود ندارد. اغلب یک اندازه‌گیری گسسته در زمان از تنها یک مشاهده در اختیار است. در این وضعیت، فضای فاز باید دوباره ساخته شود (تیکنر ۱۹۶۱، ص ۷۱۶-۳۶۱، پاکارد و همکاران ۱۹۸۰، ص ۷۱۲-۷۱۶).

یک روش متداول بازسازی روش تأخیر زمانی است:

$$\hat{\vec{x}}_i = \sum_{j=1}^m u_i + (j-1)\tau \vec{e}_j \quad (3)$$

تشخیص مؤلفه‌ی $N400$ توسط (شینکل ۲۰۰۷، ص ۳۲۵-۳۱۷) نمونه‌های دیگری از کاربرد منحنی‌های بازگشتهای در زمینه‌ی علوم عصبی است. نتایج تحقیقات شینکل نیز توانایی تشخیص $N400$ در تکثیت‌های EEG را با استفاده از منحنی‌های بازگشتهای RQA تأیید می‌کند. قشوی نیز برای بررسی حافظه اپیزودیک از فضای فاز و چگالی نرخ بازگشت استفاده نمود (قشوی و نصرآبادی ۲۰۰۷). با توجه به تلاش‌های گذشته می‌توان پیشنهاد کرد که منحنی‌های بازگشتهای و آنالیز کمی‌سازی بازگشت، به عنوان روشی غیرخطی برای تجزیه و تحلیل سیگنال‌های EEG رخدادهای حافظه‌ای، نیز به کار گرفته شوند. در این روش علاوه بر تجسم دیداری وضعیت گذارها در سیگنال به‌خاطر وقوع یک تحریک خارجی (برای مثال مشاهده یک لغت قدیم یا جدید در اینجا)، اندازه‌های RQA نیز می‌توانند به عنوان کمی‌کننده‌ی تغییرات در ساختار دینامیک مغز در حین یک رخداد حافظه‌ای در تکثیت‌های EEG به کار بردند.

این مطالعه در بخش اول به معرفی منحنی‌های بازگشتهای و آنالیز RQA می‌پردازد. در بخش دوم پس از معرفی دادگان، منحنی بازگشتهای سیگنال‌های مغزی و کمی‌کننده‌های RQA برای آن‌ها محاسبه می‌گردد. سپس از روی این اندازه‌های غیرخطی تفاوت‌های سیگنال‌های مربوط به قسمت قدیم و جدید از لحاظ آماری مورد بررسی قرار گرفته است. در پایان به بحث و نتیجه‌گیری کاربرد روش معرفی شده روی سیگنال‌های EEG حافظه‌ای پرداخته خواهد شد.

۲- ابزار منحنی‌های بازگشتهای برای تحلیل داده‌ها

مفهوم رسمی بازگشتهای توسط هنری پوانکاره در کار اصلی اش در سال ۱۸۹۰ ارائه شد (پوانکاره ۱۸۹۰، ص ۲۷۱-۱۸۹). او به هنگام صحبت در مورد مسئله‌ی محدود شده‌ی سه جسم، اشاره کرد: "در این وضعیت، صرف نظر از برخی ترازکتوری‌های مستثنی، که وقوع آن‌ها بی‌نهایت غیرمحتمل است، می‌توان نشان داد که سیستم به دفعات بسیار به نقطه‌ای بی‌نهایت نزدیک به نقطه‌ی شروعش باز می‌گردد." بازگشت یک مشخصه‌ی اساسی برای بسیاری از سیستم‌های دینامیک می‌باشد. هفتاد سال بعد از پوانکاره و با ظهور

^۱ Recurrence quantification analysis

۲. قطعیت: نرخ نقاط بازگشتی که از ساختارهای قطری هستند (با طول حداقل l_{min}) نسبت به کل نقاط بازگشت برابر است با

$$DET = \frac{\sum_{l=l_{min}}^N l P(l)}{\sum_{l=1}^N l P(l)} \quad (5)$$

که بر اساس هسیتوگرام $P(\varepsilon, l)$ مربوط به خطوط قطری به طول l نوشته می‌شود، یعنی:

$$P(\varepsilon, l) = \sum_{i,j=1}^N \left(1 - R_{i-1,j-1}(\varepsilon)\right) \left(1 - R_{i+l,j+l}(\varepsilon)\right) \prod_{k=0}^{l-1} R_{i+k,j+k}(\varepsilon) \quad (6)$$

برای سادگی دیگر ۴ را در اندازه‌های RQA نمی‌نویسند (یعنی $P(l) = P(\varepsilon, l)$).

DET به عنوان اندازه قطعیت (دترمینیسم) (یا پیش‌بینی پذیری) در مورد یک سیستم تعریف می‌شود.

۳. متوسط طول خطوط قطری

$$L = \frac{\sum_{l=l_{min}}^N l P(l)}{\sum_{l=l_{min}}^N P(l)} \quad (7)$$

متوسط زمانی است که دو قطعه تراژکتوری به یکدیگر نزدیک هستند و می‌تواند به عنوان متوسط زمان پیش‌بینی تفسیر شود.

۴. طول L_{max} به عنوان طولانی‌ترین خط قطری که در RP یافت می‌شود، یا بر عکس آن به عنوان به‌واگرایی مدد نظر قرار می‌گیرد:

$$L_{max} = \max \left(\{l_i\}_{i=1}^{N_l} \right) \quad (8)$$

respectively $DIV = \frac{1}{L_{max}}$

۵. آنتروپی: به آنتروپی شانون مربوط به احتمال $p(l) = P(l)/N_l$ که یک خط قطری به طول دقیقاً l را در RP پیدا می‌کند:

$$ENTR = - \sum_{l=l_{min}}^N p(l) \ln p(l) \quad (9)$$

ENTR پیچیدگی منحنی بازگشتی را نسبت به خطوط قطری بیان می‌کند؛ برای مثال در نویز ناهمبسته مقدار

که u_i مقادیر گسسته سری زمانی، \bar{e}_i بردار واحد، m بعد جاسازی و τ تأخیر زمانی است. برای آنالیز سری‌های زمانی، هر دو پارامتر جاسازی، بعد m و تأخیر τ باید به طور مناسب تعیین شوند. روش‌های مختلفی برای تخمین کوچک‌ترین بعد جاسازی مناسب وجود دارد؛ برای مثال الگوریتم نزدیک‌ترین همسایه اشتباہ (کانتز و شریبر ۱۹۹۷)، همچنین برای تعیین زمان تأخیر به عنوان مثال می‌توان ازتابع اطلاعات متقابل (کائو ۱۹۹۷، ص ۴۳-۵۰؛ گالن و بالوبیانتر ۱۹۹۷، ص ۵۰-۴۳) استفاده کرد.

۱-۲- اندازه‌های پیچیدگی (آنالیز کمی‌سازی بازگشت (RQA))

در منحنی‌های بازگشتی دو ساختار مقیاس کوچک عمدۀ مشاهده می‌شود؛ اوّل ساختار خط قطری به طول l که به این معنی است که دو قطعه تراژکتوری به مدت l واحد زمانی در همسایگی ε از یکدیگر بوده‌اند و دوم ساختار خط قائم به طول τ که نشان دهنده‌ای این است که تراژکتوری به مدت τ واحد زمانی تغییر چندانی نکرده است. به منظور فراتر رفت از بیان تصویری که به وسیله‌ی RP‌ها نتیجه می‌شود، چندین اندازه^۱ برای پیچیدگی، که ساختارهایی با مقیاس پایین در RP را کمی‌سازی می‌کند، در مقالات (استم ۲۰۰۵، ویر و زبیلات ۱۹۹۴، مروان و همکاران ۲۰۰۲) پیشنهاد شده‌اند و به عنوان آنالیز کمی‌ساز بازگشت RQA شناخته می‌شوند. این اندازه‌ها بر اساس چگالی نقاط بازگشتی و ساختارهای خط قطری و عمودی در RP است. یک محاسبه این اندازه‌ها در پنجره‌های کوچک (زیر ماتریس‌ها) در RP که در طول^۲ LOI حرکت می‌کند، به یک رفتار وابسته به زمان این متغیرها RQA منجر می‌شود. برخی مطالعه‌ها بر اساس اندازه‌های نشان می‌دهد که آن‌ها می‌توانند نقاط بایفورکاسیون و به‌ویژه گذارهای آشوب – نظم^۳ را شناسایی کنند (گرسبرگر و پروکاشیا ۱۹۸۳، ص ۳۴۹-۳۶۳). این اندازه‌ها عبارتند از:

۱. نرخ بازگشت: ساده‌ترین اندازه‌ی RQA نرخ بازگشت (RR) یا درصد بازگشت است:

$$RR(\varepsilon) = \frac{1}{N^2} \sum_{i,j=1}^N R_{i,j}(\varepsilon) \quad (4)$$

که اندازه‌ای از چگالی نقاط بازگشت در RP است.

¹ measure

² Line Of Identity ($R_{i,i} \equiv 1 | i \in \underline{1, N}$)

³ chaos-order



۸. بیشینه طول خطوط عمودی در RP

$$V_{\max} = \max \left(\{v_i\}_{i=1}^{N_v} \right) \quad (12)$$

می تواند، در مقایسه با اندازه استاندارد L_{\max} ، مورد ملاحظه قرار گیرد (N_v تعداد قطعی خطوط عمودی است).

۳-دادگان و روش ها

دادگان مورد استفاده در این مقاله توسط آقای تیم کارن (دانشگاه کلرادو-۲۰۰۶) در حین بازشناسی حافظه ثبت شده است. سوزه ها ۱۲۰ لغت را مورد مطالعه قرار دادند. در حدود هفتاد دقیقه بعد، آنها به هنگام بازشناسی حافظه برای لغات قدیم و جدید، ثبت و استخراج شدند. داده ها مربوط به پانزده دانشجوی دانشگاه کلرادو بود (سن: میانگین ۲۱ سال؛ محدوده سنی ۱۸-۲۸ سال، ۸ زن و ۷ مرد) که تمام افراد دست راست و انگلیسی زبان بومی بودند. تحریکات شامل ۴۸ لغت انگلیسی چهار تا هفت حرفی با تکرار اندک در لغتنامه (محدوده ۲-۱۲۰ بار تکرار در میلیون) بود. لغات به صورت تصادفی به چهار مجموعه ۱۲۰ کلمه ای تقسیم شده بود. در طول فعالیت بازشناسی حافظه، EEG به صورت ۰.۱-۱۰۰Hz کانالهای ثبت شدند. ولتاژهای آنالوگ تقویت شده (۰.۱-۱۰۰Hz) میانگذر) با فرکانس ۲۵۰Hz دیجیتال شدند.

۳-۱-پیش پردازش

سیگنال EEG به صورت دیجیتال از یک فیلتر پایین گذر ۴۰Hz عبور داده شد. آزمایش هایی که شامل پاسخ های نادرست، حرکات چشمی (الکترواکلوگرام بالاتر از ۷۰µV) بودند و یا اگر مجموع کانال های نامناسب از ۲۰٪ کل کانال ها بیشتر بود (متوسط دامنه یک کانال نامناسب بیش از ۱۰۰µV یا دامنه گذراي آن بالاتر از ۵۰µV بود)، از آنالیز حذف شدند. EEG نسبت به مرجع ورتكس (Cz) اندازه گیری شد، ولی از تبدیل میانگین مراجع، به منظور کمینه کردن اثر فعالیت ناحیه مرجع، و تخمین دقیق توپوگرافی جمجمه میدان های الکتریکی اندازه گیری شده، استفاده شد. طبق متون قبلی (فریدمن و جانسون ۲۰۰۰، راگ و آلن ۲۰۰۰، ژاکوبی ۱۹۹۱، ردر و همکاران ۲۰۰۰، کوتاس و ون پن و...) مؤلفه FN400 توزیعی در ناحیه فرونتال داشته و مؤلفه LPC در ناحیه پریتال قوی تر دیده می شود. به همین دلیل ۴ ناحیه ای الکترودی به طور خاص برای تجزیه

آنتروپی تاحدودی کوچک است که نشان دهنده کم بودن آنتروپی خطوط قطری و پیچیدگی پایین منحنی بازگشته می باشد.

LAM.۶ (لامیناریتی) : مانند تعریف دترمینیسم، معادله (۵)، نسبت بین نقاط بازگشته تشکیل دهنده ساختارهای عمودی به کل نقاط بازگشته، می تواند محاسبه شود:

$$LAM = \frac{\sum_{v=v_{\min}}^N v P(v)}{\sum_{v=1}^N v P(v)} \quad (10)$$

که در آن

$P(v) = \prod_{i,j=1}^N (1 - R_{i,j}) (1 - R_{i,j+v}) \prod_{k=1}^{v-1} R_{i,j+k}$

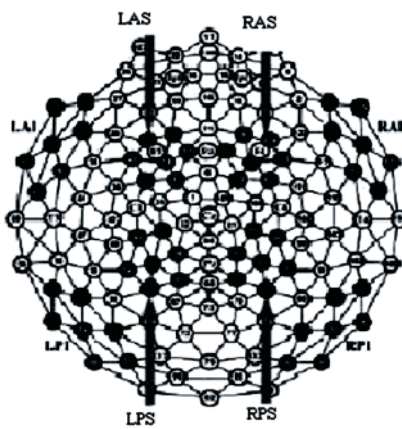
است و لامیناریتی نامیده می شود. محاسبه LAM برای v هایی تحقق می یابد که از v_{\min} بیشتر شود، تا اثر حرکت مماسی کاهش یابد. برای نگاشت ها، $v_{\min}=2$ مقدار مناسبی است. LAM موقع وضعیت های لامینار در سیستم را نشان می دهد، بدون این که طول این فازهای لامینار را توصیف نماید. در صورتی که RP شامل نقاط بازگشتهای منفرد بیشتری نسبت به ساختارهای عمودی باشد، LAM کاهش خواهد یافت.

متوسط طول ساختارهای عمودی با معادله (۶) داده می شود.

۷. زمان به دام افتادن

$$TT = \frac{\sum_{v=v_{\min}}^N v P(v)}{\sum_{v=v_{\min}}^N P(v)} \quad (11)$$

که زمان به دام افتادن^۱ نامیده می شود. برای محاسبه آن، نظری حالت محاسبه LAM لازم است طول مینیمال v_{\min} در نظر گرفته شود. میانگین زمانی که سیستم در یک

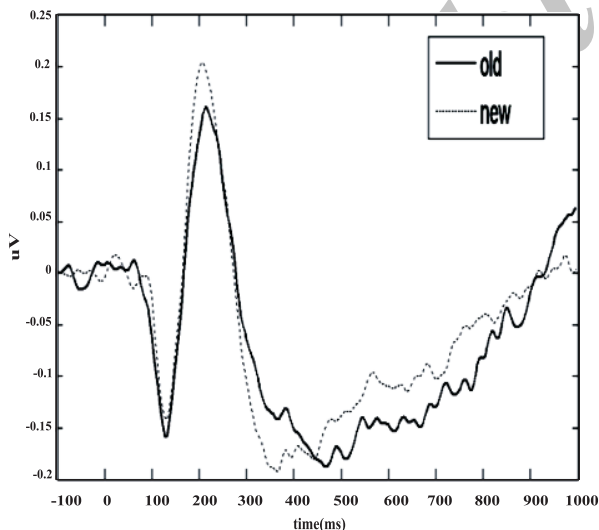


(شکل ۱) موقعیت چهار ناحیه مورد نظر برای بررسی سیگنال های EEG توسط فلش ها نشان داده شده است. وضعیت مشخص پایدار می ماند و یا این که چه مقدار را در تله گیر خواهد کرد، نشان می دهد.

^۱ trapping time

خط در ناحیه‌ای که نقاط به صورت خطی قرار دارند^۱ محاسبه می‌شود. شیب خط مقدار بُعد همبستگی را مشخص می‌کند (هیبورن ۱۹۹۴). برای تخمین بُعد فضای پوششی، بعد همبستگی برای سیگنال بهازای بُعدهای مختلف به دست آمده و سپس این مقدار بر حسب d رسم می‌شود. سپس از روی منحنی به دست آمده بُعد فضای پوششی درست در جایی که منحنی به اشباع رسیده باشد، تخمین زده می‌شود. لازم به ذکر است بُعد واقعی سیستم d_s از رابطه $d = 2d_s + 1$ قابل محاسبه است. به عنوان مثال اگر بُعد فضای پوششی برابر ۵ به دست آید، بُعد واقعی سیستم d_s برابر ۲ می‌باشد.

یک روش دیگر نیز برای انتخاب ابعاد فضای بازسازی وجود دارد که "نژدیکترین همسایگی اشتباه" نامیده می‌شود. مفهوم ابتدایی آن به این صورت است که: اگر ابعاد خیلی کوچکی برای فضای بازسازی در نظر گرفته شود، زمانی که ترازکتوری‌های فضای حالت به این ابعاد پایین‌تر، تصویر می‌شود، دو نقطه‌ی ترازکتوری که درواقع با هم فاصله‌ی زیادی دارند، ممکن است در این بُعد پایین‌تر در همسایگی هم قرار گیرند. همین‌طور که ابعاد فضای بازسازی بالاتر می‌رود از تعداد این نقاط همسایگی نادرست کم می‌شود تا جایی که دیگر در تعداد همسایگی‌ها تغییری دیده نمی‌شود که در این حالت ابعاد هندسی واقعی و درست جاذب سیستم تعیین می‌شود.



-۲- ب

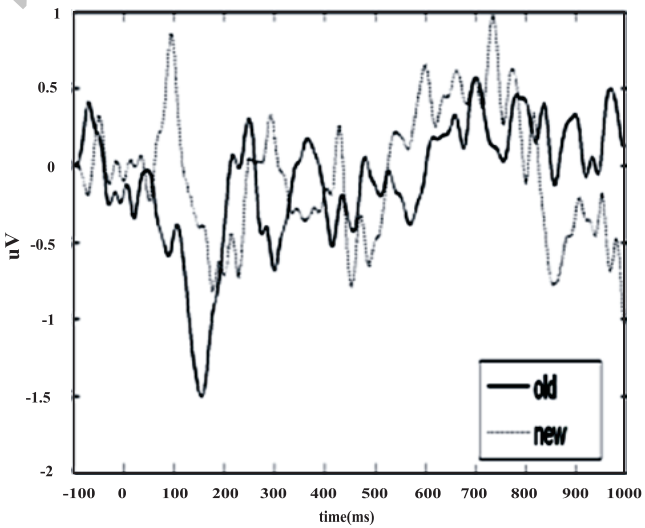
و تحلیل سیگنال‌های مغزی حاوی این مؤلفه‌ها در نظر گرفته شده است که در (شکل ۱) مشاهده می‌شود. (شکل ۲) نمونه‌ای از سیگنال EEG و سیگنال ERP متوضط‌گیری شده از تمام ثبت‌های کل افراد را در ناحیه‌ی RAS نشان می‌دهد. همان‌طور که مشاهده می‌شود، مؤلفه‌های حافظه‌ای در تک‌ثبت EEG چندان مشخص نیستند.

۲-۳- تحلیل دادگان

برای محاسبات آنالیز کمی‌ساز بازگشته RQA به سیگنال بازسازی شده در فضای فاز نیاز است. یکی از معمول‌ترین روش‌های بازسازی سیگنال، روش تأخیری می‌باشد؛ از روی سیگنال اوّلیه با زمان‌های تأخیر مناسب نمونه‌برداری کرده و سیگنال جدید در فضای فاز جاسازی می‌شود. پارامترهای تأخیر و بُعد جاسازی بسیار مهم می‌باشد. طبق پیشنهادهای گذشته، زمان تأخیر مناسب با زمان خودهمبستگی سیگنال در نظر گرفته می‌شود. برای انتخاب بُعد جاسازی مناسب، از روش بُعد همبستگی استفاده می‌شود:

$$C^{(d)}(R) = \frac{1}{N(N-1)} \sum_{i,j=1,i \neq j}^N \theta[R - |\vec{x}_i - \vec{x}_j|] \quad (13)$$

برای محاسبه‌ی بُعد همبستگی نسبت لگاریتم جمع همبستگی ($\log C^d(R)$) به $\log R$ رسم کرده و شیب

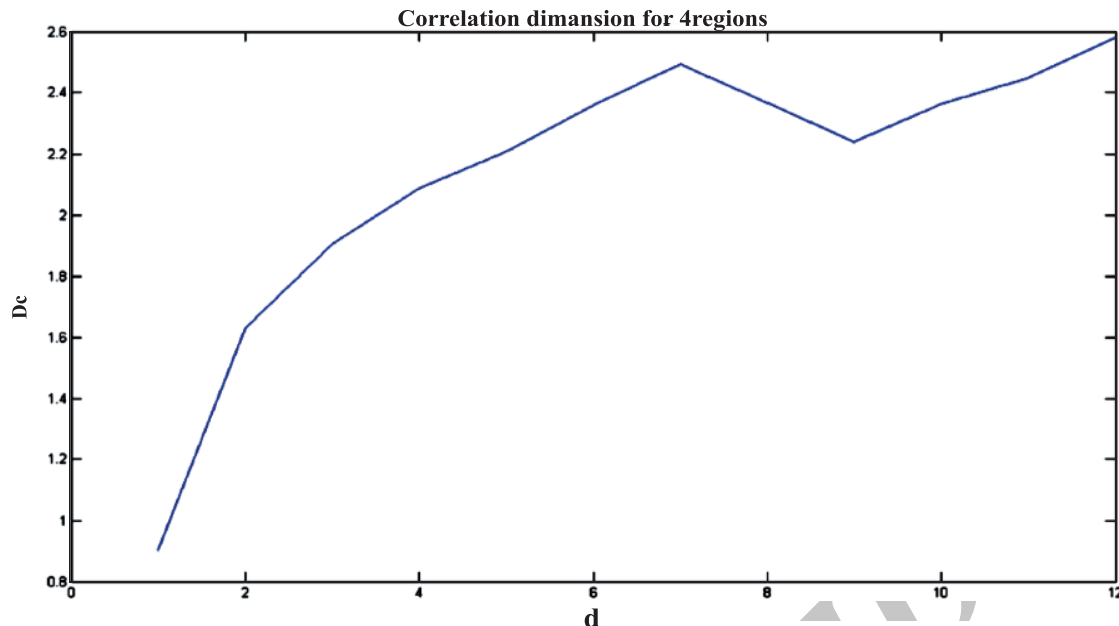


-۲- الف

(شکل ۲) شکل موج یک ثانیه‌ای سیگنال RPS در ناحیه EEG، محور زمان از ۱۰۰ms پیش از تحریک شروع شده است.
۲-الف) تک ثبت EEG. ۲-ب) سیگنال حاصل از متوضط‌گیری کل ثبت‌ها

^۱ scaling region





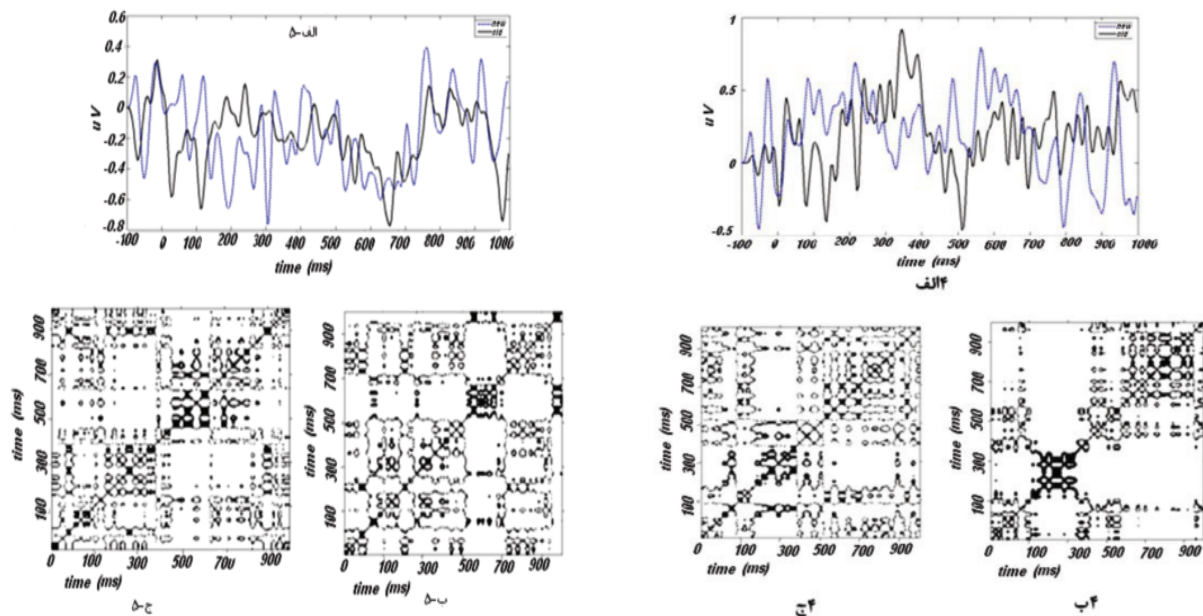
(شکل ۳) منحنی بعد همبستگی بهازای مقادیر مختلف بعد فضای پوششی برای سیگنال EEG یک ثانیه‌ای

باید به طور مناسب تعیین شوند. کمینه‌ی طول مایل و قائم چهار و پنجره‌ی تیلر دو و بازه‌ی زمانی برای پنجره‌گذاری ۲۰۰ms در نظر گرفته شد.

استفاده از روش تأخیری برای سیگنال‌های با طول زیاد مناسب می‌باشد. از آنجایی که در این مطالعه طول هر تکثیت EEG کوتاه و تنها ۲۷۵ نقطه است، بهتر دیدیم که به جای استفاده از روش تأخیری برای بازسازی سیگنال، پس از محاسبه، بعد جاسازی مناسب، به صورت مستقیم از خود سیگنال استفاده کنیم. در اینجا از روش نزدیک‌ترین همسایه‌ی اشتباه برای محاسبه بُعد جاسازی استفاده شد و بعد مناسب چهار بدست آمد. در صورت محاسبه بُعد همبستگی نیز، اشباع تقریبی پس از بعد چهار مشاهده می‌شود (شکل ۳). برای ایجاد این بُردار چهار بُعدی در RPS و LAS, RAS, LPS فاز، از هر کدام از نواحی (شکل ۱) به ترتیب یک الکترود گرفته می‌شود تا بُردار چهار بُعدی بازسازی شود. از روی این سیگنال بازسازی شده، کمی کننده‌ها یا اندازه‌های غیرخطی با استفاده از پنجره‌ی لغزان به صورت پارامترهایی وابسته به زمان محاسبه می‌شوند و ویژگی‌هایی از این سیگنال‌های جدید استخراج می‌شود. این فرآیند به تعداد الکترودهای هر ناحیه، یعنی هفت بار تکرار می‌شود. همان‌طور که در قبل اشاره شد، برای محاسبه‌ی این اندازه‌ها، پارامترهای متعددی باید به طور مناسب تعیین شوند. اوّلین و مهم‌ترین پارامتر، شعاع همسایگی ۴ می‌باشد. یکی از معمول‌ترین روش‌ها انتخاب شعاع همسایگی برابر ۱۰٪ بیشینه‌ی فاصله‌ی بین نقاط در پنجره‌ی زمانی مورد نظر است که در اینجا نیز مورد استفاده قرار گرفته است. علاوه‌بر این پارامترهای l_{min} و v_{min} و اندازه‌ی پنجره‌ی تیلر (تیلر ۱۹۷۶، ص ۲۴۳۲-۲۴۲۷) نیز

۴- نتایج

با توجه به توضیحات داده شده در بالا منحنی بازگشتی برای تکثیت‌های EEG محاسبه شده است. همان‌طور که در (اشکال ۴ و ۵) مشاهده می‌شود، در ناحیه‌ی فرونتال (اشکال ۴-ب و ۴-ج) در بازه‌ی تقریبی ۴۰۰ میلی‌ثانیه نوار سفیدرنگی در منحنی‌های بازگشتی مشاهده می‌شود که نشان‌دهنده‌ی غیر ایستا بودن داده‌ها در اطراف FN400 است. با این وجود خوش‌های از نقاط بازگشتی درون این بازه و در زمان تقریبی ۴۰۰ میلی‌ثانیه به‌چشم می‌خورد که همبستگی سیگنال درون آن محدوده را نشان می‌دهد. این در حالی است که در سیگنال زمانی متناظر با آن تغییرات قابل ملاحظه‌ای به چشم نمی‌خورد (شکل ۴-الف). علاوه‌بر این در بازه‌ی ۵۰۰-۹۰۰ میلی‌ثانیه در ناحیه‌ی پریتال (شکل ۵-ب و ۵-ج) نیز نوار سفیدرنگ و خوش‌های نقاط مشاهده می‌شود که نشانی از ظهور مؤلفه‌ی دیرهنگام LPC، به‌طور بارز در این ناحیه مکانی و زمانی است. در این شکل نیز سیگنال زمانی متناظر با منحنی‌های بازگشتی، عدم توانایی تکثیت EEG برای مشخص کردن تغییرات را نشان می‌دهد (شکل ۵-الف).

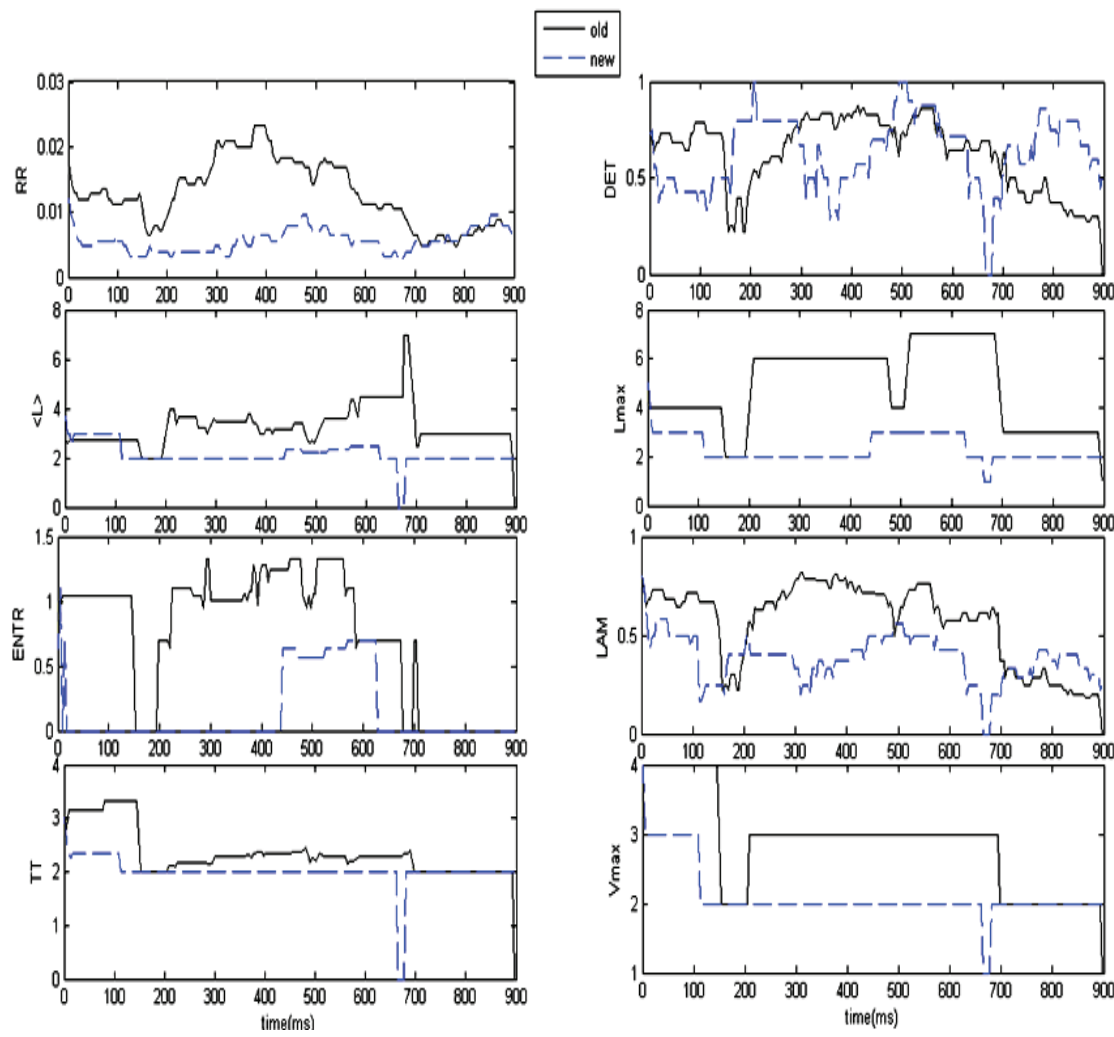


(شکل ۵) سیگنال‌های زمانی و منحنی‌های بازگشتی مربوط به تکثیت‌های EEG: ۵-الف) سیگنال زمانی رخداد قدیم و جدید در یک تکثیت در ناحیه‌ی پریتال (خط‌چین رخداد جدید و خط پیوسته رخداد قدیم را نشان می‌دهد)؛ ۵-ب) منحنی بازگشتی رخداد قدیم، ۵-ج) منحنی بازگشتی رخداد جدید. نوار سفیدرنگ به‌واسطه‌ی غیرایستا بودن داده‌ها و خوش‌هی نقاط بازگشتی در حوالی ۵۰۰ تا ۸۰۰ میلی‌ثانیه در نواحی پریتال مشاهده می‌شود.

علاوه‌بر این نتایج نشان می‌دهند که پس از ۸۰۰ میلی‌ثانیه این روند افزایش دامنه از بین رفته و کاهشی در تمامی اندازه‌ها به‌وقوع می‌پیوندد که می‌تواند مبین افزایش بعد سیستم و بازگشت به وضعیت پایه‌اش (وانگ و همکاران، ۱۹۹۵، کازما و همکاران^۳، ۲۰۰۵، مونلار و همکاران ۱۹۹۶، سامر ۱۹۹۹) باشد. علاوه‌بر این در تمام اندازه‌های غیرخطی مشاهده می‌شود که دامنه‌ی سیگنال مربوط به رخداد قدیم نسبت به سیگنال رخداد جدید بیشتر است. این تفاوت‌ها می‌تواند توانایی RQA برای مشخص کردن تمایز بین رخدادهای قدیم و جدید را در تکثیت‌ها نمایان سازد، در حالی که در سیگنال اولیه EEG این تفاوت‌ها چندان آشکار نبوده و برای شناسایی تغییرات متوسط‌گیری باید صورت گیرد (شکل ۲).

(شکل ۴) سیگنال‌های زمانی و منحنی‌های بازگشتی مربوط به تکثیت‌های EEG: ۴-الف) سیگنال زمانی رخداد قدیم و جدید در یک تکثیت در ناحیه‌ی فرونتال (خط‌چین رخداد جدید و خط پیوسته رخداد قدیم را نشان می‌دهد)؛ ۴-ب) منحنی بازگشتی رخداد قدیم، ۴-ج) منحنی بازگشتی رخداد جدید. در نواحی فرونتال، نوار سفیدرنگ به‌واسطه‌ی غیرایستا بودن داده‌ها و خوش‌هی نقاط بازگشتی در حوالی ۴۰۰ میلی‌ثانیه کاملاً مشهود است.

همان‌طور که در بالا اشاره شد، آنالیز کمی‌سازی بازگشت‌ها می‌تواند تغییرات در ساختار پویا را کمی کند، که به عنوان ابزار مفیدی برای تجزیه و تحلیل سیگنال‌های EEG در حین رخدادهای مختلف مغزی می‌تواند به کار برد شود. اندازه‌هایی نظیر ENTR RR, DET, LAM, $\langle L \rangle$, L_{max} و V_{max} به عنوان ویژگی‌های متغیر در زمانی معرفی می‌شوند که تغییرات پویا را کمی‌سازی می‌کنند. این اندازه‌های غیرخطی برای سیگنال EEG محاسبه شدند که در (شکل ۶) نمونه‌ای از آن‌ها آورده شده است. آن‌چه به طور تقریبی در تمام این اندازه‌ها مشاهده می‌شود، این است که پس از اعمال تحریک تا زمان تقریبی ۴۰۰ میلی‌ثانیه دامنه‌ی اندازه‌هایی چون نرخ بازگشتی، میزان قطعیت، آنتروپی و لامیناریتی افزایش می‌یابد. توجه کنید از آنجایی که ما در محاسبات این اندازه‌ها از پنجره‌گذاری با اندازه‌ی 200ms استفاده نموده و نتیجه‌ی کل پنجره را در نمونه‌ی اول آن بیان کرده‌ایم، تمام زمان‌های واقعی 200ms دیرتر از زمان‌های نشان‌داده شده در نمودارهای بازگشتی است.



(شکل ۶) اندازه‌های غیرخطی برای تکثیت‌های EEG مربوط به رخدادهای قدیم و جدید. بیشتر بودن مقادیر رخداد قدیم نسبت به جدید قابل مشاهده است. افزایش دامنه در 400ms شروع می‌شود (به خاطر پنجره‌ی 200ms ای که برای محاسبات در نظر گرفته شده است این افزایش تقریباً در 200ms نشان داده می‌شود). که متناظر با مؤلفه‌ی FN400 و کاهش بعد سیستم مغز است. پس از 800ms نیز دامنه‌ها کاهش می‌یابد که نشان دهنده‌ی بازگشت سیستم به وضعیت پایه‌اش و افزایش بعد آن می‌باشد. اندازه‌های مربوط به قسمت قدیم (خطوط پیوسته) دامنه‌ی بزرگتری نسبت به اندازه‌های قسمت جدید (خط‌چین) دارند.

اولین بار توسط کالاتزیس برای تشخیص افسردگی از روی سیگنال‌های مغزی مورد استفاده قرار گرفتند (کالاتزیس ۲۰۰۴، ص ۱۱-۲۲). قشنوی (۱۳۸۵) و رضانیا (۱۳۸۶) نیز از این ویژگی‌ها برای بررسی سیگنال مغزی در حافظه‌ی اپیزودیک استفاده کردند. این ویژگی‌ها عبارتند از: بیشینه (کمینه) دامنه‌ی سیگنال (AMP); نسبت بیشینه (کمینه) دامنه به زمان وقوع آن (LAR); سطح زیرناحیه منفی (NAR); حاصل جمع سطح ناحیه منفی و مثبت (TAR); متوسط قدر مطلق شب سیگنال (AASS); پیک تا پیک (PP); شب پیک تا پیک (PPS); چگالی عبور از صفر (ZCD); تعداد دفعات تغییر علامت شب (ENTR).

۴-۱-آنالیز آماری

همان‌طور که در قبل گفته شد، اندازه‌های RQA برای هر کدام از هفت الکترود واقع در چهار ناحیه LAS, RAS, RPS و LPS محاسبه شدند. برای تمام افراد و تمام ثبت‌ها، نتایج حاصل از هفت الکترود متوسط‌گیری شده و محاسبات بعدی روی این میانگین‌ها انجام گرفت. این متوسط‌گیری نتایج آماری را اندکی بهبود می‌بخشد. به منظور مقایسه سیگنال‌های رخدادهای قدیم و جدید از روی اندازه‌های ENTR, RR, DET, LAM, L_{max} , V_{max} گفته شده، یعنی L_{max} و V_{max} تعدادی ویژگی استخراج شدند که مشخص کننده‌ی رفتار سیگنال می‌باشند. این ویژگی‌ها

گرفته شد، که میانگین ویژگی‌های مربوط به رخدادهای قدیم، بیشتر از جدید است. با این فرض، نسبت به فرض مساوی گرفتن میانگین‌ها یا بیشتر بودن میانگین رخدادهای جدید از قدیم، مقادیر p-value کمتری به دست آمد. این نتیجه با آن‌چه ما به طور مستقیم از روی منحنی‌های اندازه‌های غیرخطی، نتیجه گرفته بودیم هم‌خوانی دارد. همان‌طور که مشاهده می‌شود، حتی در تکثیت‌های EEG

در دو نقطه‌ی مجاور (SSA)، به این ویژگی‌ها میانگین در باره‌ی ۳۰۰ تا ۵۰۰ میلی‌ثانیه نیز اضافه شد. سپس میزان معنادار بودن تفاوت‌های ویژگی‌ها برای رخدادهای قدیم و جدید با آزمون آماری t-test و فاصله‌ی اطمینان ۹۵٪ مورد بررسی قرار گرفت. (جدول ۱) مقادیر آزمون را برای هر کدام از ویژگی‌ها در تمام اندازه‌ها نشان می‌دهد. خاطر نشان می‌شود، در آزمون، فرض بر این

(جدول ۱): مقادیر p-value ویژگی‌های استخراج شده از روی اندازه‌های غیرخطی. مقادیر کمتر از ۰.۰۵ مشخص شده‌اند. همان‌طور که مشاهده می‌شود اندازه‌های TT, DET, LAM, <L> و بیشترین ویژگی‌های متفاوت بین دو گروه قدیم و جدید را دارند. این اندازه‌ها به ترتیب گذارهای آشوب-آشوب و آشوب-نظم را نشان می‌دهند.

اندازه غیرخطی ویژگی زمانی	RR	DET	<L>	Lmax	ENTR	LAM	TT	Vmax
AMP	0.9117	0.1177	0.2679	0.6377	0.8034	0.0471	0.3572	0.8443
LAR	0.0065	0.0141	0.0133	0.0127	0.4265	0.1197	0.0162	0.0145
NAR	0.8527	0.0109	0.0135	0.4461	0.8076	0.002	0.0128	0.4351
TAR	0.8223	0.0112	0.0125	0.3923	0.775	0.0021	0.013	0.4179
AASS	0.0099	0.0076	0.0013	0.01	0.0085	0.0011	0.0007	0.0004
PP	0.1343	0.7996	0.2454	0.1157	0.0497	0.9648	0.569	0.0756
PPS	0.0878	0.0156	0.0083	0.0236	0.2382	0.0565	0.0178	0.02
ZCD	0.0477	0.0203	0.0148	0.0333	0.1063	0.0703	0.0282	0.0317
SSA	0	0.0007	0.0073	0.001	0.0349	0	0.0036	0.0002
Mean(300-500ms)	0.7097	0.009	0.0063	0.2776	0.7139	0.0018	0.0064	0.3095

(جدول ۲) مقادیر p-value ویژگی‌های استخراج شده از روی تک ثبت EEG. مقدار کمتر از ۰.۰۵ مشخص شده است. همان‌طور که مشاهده می‌شود، تنها یک ویژگی دارای تمایز معنادار است و سایر مقادیر p بسیار بزرگ است

AMP	LAR	NAR	TAR	AASS	PP	PPS	ZCD	SSA	Mean(300-500ms)
0.9996	0.9076	0.9997	0.9998	0	0.0745	0.325	0.4466	1	1

فصل نهم



(اشکال ۴ و ۵) که برای نواحی فرونتال در بازه ۵۰۰-۳۰۰ میلی ثانیه (شکل ۴) و برای ناحیه‌ی پریتال در ۸۰۰-۵۰۰ میلی ثانیه (شکل ۵) وضوح بیشتری دارد و مؤید مؤلفه‌های LPC و FN400 در نواحی زمانی و مکانی متفاوت در مغز می‌باشد. این نتایج با یافته‌های قبل در مورد توانایی شناسایی گذارها به هنگام وقوع مؤلفه‌های ERP هم‌خوانی دارد (مروان و مینکه، ۲۰۰۴، شینکل ۲۰۰۷). اندازه‌های RQA به عنوان کمی کننده تغییرات دینامیک سیستم می‌توانند به شناسایی بهتر رخدادهای حافظه‌ای کمک کنند. به جای استفاده از ERP‌های متوسط‌گیری شده، این اندازه‌ها از روی تکثیت‌های EEG محاسبه می‌شوند. همان‌طور که در (بخش ۲) توضیح داده شد، هرچه از میزان پیچیدگی و بعد سیستم کاسته شود، دامنه‌ی این اندازه‌ها بیشتر می‌شود. درنتیجه افزایش دامنه‌ی اندازه‌ها در بازه‌ی زمانی گفته شده می‌تواند نشان‌گر روند کاهش بعد سیستم، پس از تحریک باشد (وانگ و همکاران، ۲۰۰۵، مولنار و همکاران، ۱۹۹۵، سامر، ۱۹۹۶ و ۱۹۹۹). درنتیجه اندازه‌هایی چون نرخ بازگشتی، میزان قطعیت، آنتروپی و لامیناریتی افزایش می‌یابد. علاوه‌بر این، کاهش دامنه‌ی اندازه‌های غیرخطی پس از ۸۰۰ میلی ثانیه می‌تواند مبنی افزایش بعد سیستم و بازگشت به وضعیت پایه‌اش (کازما و همکاران، ۲۰۰۳، ص ۱۱۹-۱۲۶) باشد. علاوه‌بر این میانگین اندازه‌های مربوط به رخداد قدیم بیشتر از رخداد جدید می‌باشد (شکل ۶). می‌توان چنین پیشنهاد کرد که هنگام فراخوانی یک قسمت قدیم از حافظه، مقداری از بعد و پیچیدگی سیستم کم شده و بعد سیستم نسبت به حالتی که قسمت جدید می‌باشد، کمتر است. طبق بررسی‌های آماری که در (جدول ۱) مشاهده می‌شود، با استفاده از ابزار RQA، حتی در تکثیت‌های EEG نیز تفاوت‌های معناداری در ویژگی‌های قدیم و جدید وجود دارد؛ درحالی که طبق مقادیر (جدول ۲)، آزمون آماری برای ویژگی‌های استخراج شده از سیگنال زمانی EEG تکثیت، تنها ویژگی با تفاوت معنادار AASS (متوسط قدرمطلق شب سیگنال) می‌باشد که نسبت به نتایج آماری اندازه‌های RQA نتیجه‌ی مناسبی نیست. این تفاوت توانایی RQA برای ایجاد تمایز بین قسمت‌های قدیم و جدید در تکثیت‌های EEG را نشان می‌دهد. با این وجود علاوه بر استفاده از منحنی‌های بازگشتی و RQA به عنوان ابزار صرفاً تشخیصی، تلاش‌های

نیز تفاوت‌های معناداری در ویژگی‌های قدیم و جدید وجود دارد. بهترین اندازه‌های غیرخطی برای تفکیک رخدادهای قدیم و جدید L , TT و DET, L AM هستند که دارای بیشترین ویژگی با تفاوت معنادار بین دو گروه می‌باشد. این اندازه‌ها که به ترتیب بر پایه‌ی ساختارهای خط قطری و عمودی ساخته می‌شوند، نشان‌دهنده‌ی گذارهای آشوب-نظم (تروولا و همکاران، ۱۹۹۶، ص ۲۵۵-۲۶۰) و آشوب-آشوب (مروان و همکاران، ۲۰۰۲) می‌باشند. علاوه‌بر این، به منظور مقایسه‌ی توانایی اندازه‌های غیرخطی و سیگنال زمانی اولیه EEG در تشخیص تفاوت بین قسمت‌های قدیم و جدید، ویژگی‌های ذکر شده در بالا (یعنی AMP, LAR, NAR, TAR, AASS, PP, PPS, ZCD و SSA) برای سیگنال زمانی EEG تکثیت محاسبه شد. در این حالت نیز آزمون آماری t-test با همان فاصله‌ی اطمینان ۹۵٪ و فرض بیشتر بودن میانگین ویژگی‌های قدیم از جدید، روی کل ثبت‌ها و برای تمام افراد انجام شد. مقادیر p-value در این آزمون، به جز برای AASS، بسیار بزرگ بودند که نشان می‌دهد برای EEG در حالت تکثیت، این ویژگی‌ها نمی‌توانند برای شناسایی تفاوت‌های بین رخدادهای قدیم و جدید به کار برد شوند. (جدول ۲).

۵- بحث و نتیجه گیری

منحنی بازگشتی یک روش جدید پردازشی است. مزیت مهم این روش این است که می‌تواند برای سیگنال‌های غیرایستاد نیز به کار برد شود. منحنی‌های بازگشتی به عنوان ابزاری غیرخطی برای تجزیه و تحلیل سیگنال‌های EEG نیز می‌توانند به کار گرفته شوند. در این روش علاوه‌بر تجسم دیداری وضعیت گذارها در سیگنال به واسطه وقوع یک تحریک خارجی (برای مثال مشاهده یک لغت قدیم یا جدید در اینجا)، اندازه‌های RQA نیز می‌توانند به عنوان کمی کننده تغییرات در ساختار دینامیک مغز در حین رخداد حافظه‌ای در تکثیت‌های EEG به کار برد شوند. در این مطالعه ما از روش گفته شده برای شناسایی مؤلفه‌های مرتبط با فرآیند حافظه و هم‌چنین تفاوت‌های سیگنال EEG در دو گروه قدیم و جدید استفاده کرده‌ایم. در منحنی بازگشتی نوارهای سفیدرنگ مربوط به گذارهایی در ساختار دینامیک و خوش‌های نقاط بازگشتی متناظر با همبستگی داده‌ها درون این نوارها، به‌چشم می‌خورد

- International Conference of the IEEE EMBS, Lyon, France
- Grassberger P, Procaccia I.** Characterization of strange attractors. 1983, Phys. Rev. Lett, Vol. 50, pp. 346–349.
- Hilborn R.C.** Chaos and Nonlinear dynamics: An Introduction for Scientists and Engineers, 1994,Oxford Univ. Press,Oxford New York
- Jacoby L.L.** A process dissociation framework: separating automaticfrom intentional uses of memory. 1991, J Mem Lang , Vol. 30, pp. 513–541.
- Kalatzis I, Pilouras N, Ventouras E, Papageorgiou C.C, Rabavilas A.D, and Cavouras D**, Design and implementation of an SVM-based computer classification system for discriminating depressive patients from healthy controls using the P600 component of ERP signals: 2004, Computer Methods and Programs in Biomedicine, Vol. 75, pp 11-22.
- Kandel E. R, Schwartz J. H & Jessel T. M.** Essentials of Neural Science and Behavior , 1995, Appleton & Lange, East Norwalk, Connecticut.
- Kantz H, Schreiber T.** Nonlinear Time Series Analysis. 1997, Cambridge : University Press.
- Kozma R, Freeman W.J, Erdi P.** The KIV model—nonlinear spatio-temporal dynamics of the primordial vertebrate forebrain. 2003, Neurocomputing, Vols. 52–54, pp. 819 – 826.
- Kutas M, Van Petten C** , Psycholinguistics electrified: eventrelated potential investigations. In: Gensbacher MA (eds), Handbook of psycholinguistics. Academic Press, San Diego, CA, pp 83–143
- Longtin A, Galdrikian B, & Farmer B ,Theiler J, Eubank S.** Testing for nonlinearity in time series: The method of surrogate data., 1992, Physica D, Vol. 58, pp. 77-94.
- Lutzenberger W, Elbert T, Birbaumer N, Ray W. J, & Schupp H.** The scalp distribution of the fractal dimension of the EEG and its variation with mental tasks, 1992, Brain Topogr. Vol 5, pp. 27-33.
- Marwan N, Meinke A.** [ed.] Bifur J . Extended recurrence plot analysis and its application to ERP data. 2004,Chaos Cogn, Int. Complex Brain Dynam. Vol. 14, pp. 761–771.
- Marwan N, Wessel N, Meyerfeldt U, Schirdewan A, Kurths J.** Recurrence plot based measures of complexity and its application to heart rate variability data. (2), 2002, Phys. Rev E, Vol. 66.
- Molnar M, Skinner JE, Csepe V, Winkler I, Karmos G.** Correlation dimension changes accompanying the occurrence of the mismatch

بیشتری بهمنظور یافتن کاربردهای بیشتری این روش در تفسیر فرآیندهای شناختی مغز مورد نیاز است.

۶- تقدیر و تشکر

نویسندها مقاله مراتب تشکر و قدردانی خود را از آقای Tim Curran از دانشگاه کلرادو به خاطر در اختیار قرار دادن دادگان این تحقیق ابراز می دارند.

۷- مراجع:

رضانیا ساجده. کمی‌سازی پتانسیل‌های واسته به رخداد (ERP) در فرآیند حافظه‌ی اپیزودیک بر پایه‌ی ویژگی‌های زمان-فرکانس جدید، ۱۳۸۶، تهران: دانشگاه آزاد اسلامی، واحد علوم و تحقیقات، پایان‌نامه‌ی کارشناسی ارشد.

قشویی مجید. کمی‌سازی سیگنال مغزی ERP در طی فرآیند حافظه‌ی اپیزودیک، ۱۳۸۵، مشهد، دانشگاه آزاد اسلامی، پایان‌نامه‌ی کارشناسی ارشد.

Amit D. J. Modeling Brain Function. The World of Attractor Neural Networks , 1989,Cambridge University Press, Cambridge.

Babloyantz A, Salazar J. M, & Nicolis C. Evidence of chaotic dynamics of brain activity during the sleep cycle, 1985, Phys. Lett. A111, 152-156

Cao L. Practical method for determining the minimum embedding dimension of a scalar time series. 1997, Physica D, Vols. 110 (1–2), pp. 43–50.

Eckmann J.P, Kamphorst S.O, Ruelle D. Recurrence plots of dynamical systems. 1987, Europhys, Vol. 5, pp. 973–977.

Friedman D, Johnson Jr R. Event-related potential (ERP) studies of memory encoding and retrieval: a selective review. : Microsc Res Tech, 2000, Vol. 51, pp. 6–28.

Gallez D, & Babloyantz A. Predictability of human EEG: A dynamical approach, 1991, Biol. Cybern. 64, 381-391

Ghoshuni M, Nasrabadi A.M, Khalilzadeh M.A, and Hashemi M.R. Phase space analysis of Event Related Potential during episodic memory retrieval, 2007, Proceedings of the 29th Annual

فصلنامه
پژوهی و درود

Systems and Turbulence. Berlin : Springer, Lecture Notes in Mathematics, Vol. 898, pp. 366–381.

Theiler J, Spurious dimension from correlation algorithms applied to limited time-series data, 1986, Phys. Rev. A vol 34, pp 2427–2432

Thomasson N, Hoeppner T.J, Webber C.L, Zbilut J.P. Recurrence quantification in epileptic EEG, 2001, Phys. Lett. A Vol. 279 (1–2) .pp. 94–101

Trulla L.L, Giuliani A, Zbilut J.P, Webber Jr C.L, Recurrence quantification analysis of the logistic equation with transients. 1996, Phys Lett A 223(4):255–260

Webber Jr C.L, Zbilut J.P. Dynamical assessment of physiological systems and states using recurrence plot strategies. 1994, s.l. : J. Appl. Physiol, Vol. 76, pp. 956-973.

Wong K.F.K, Galka A, Yamashitad O, Ozaki T. Modelling non-stationary variance in EEG time series by state space GARCH model, 2005, Computers in Biology and Medicine

Wong K.F.K. Modelling non-stationary variance in EEG time series by state space GARCH model



نسبیه طالبی در سال ۱۳۸۴ در رشته
مهندسی پزشکی از دانشگاه اصفهان
فارغ‌التحصیل شد. سپس در سال
۸۸ دوره‌ی کارشناسی ارشد خود را در

رشته‌ی بیوالتکنیک از دانشگاه شاهد به پایان رسانید.
زمینه‌ی فعالیت وی پژوهش سیگنال‌های مغزی، بهویژه در
رخدادهای حافظه‌ای است. تا کنون مقالاتی از ایشان در این
زمینه در همایش‌های داخلی و خارجی به چاپ رسیده
است.

نشانی رایانامک ایشان عبارت است از:

Nasibeh.talebi@gmail.com



علی مطیع نصرآبادی مدرک
کارشناسی خود را در رشته‌ی مهندسی
برق-الکترونیک در سال ۱۳۷۳ از
دانشگاه صنعتی امیرکبیر، و مدرک
کارشناسی ارشد در رشته‌ی مهندسی

برق-مهندسی پزشکی را در سال ۱۳۷۷ از همان دانشگاه
اخذ نمود. وی در سال ۱۳۸۲ دکترای خود را در رشته‌ی
مهندسی پزشکی- بیوالتکنیک از دانشگاه صنعتی امیرکبیر
دریافت نمود و هم‌اکنون عضو هیئت علمی دانشکده‌ی

negativity and the P3 event-related potential component. Electroenceph Clin Neurophysiol 1995;95:118–26.

Nunez P. L. Electric Fields of the Brain, 1981, Oxford University Press, NY.

Packard N.H, Crutchfield J.P, Farmer J.D, Shaw R.S .Geometry from a time series. 1980, Phys. Rev. Lett, Vol. 45, pp. 712–716.

Poincaré H. s.l. Sur la probleme des trois corps et les équations de la dynamique.: Acta Mathematica, 1890, Vol. 13, pp. 1–271.

Pritchard W. S, & Duke D.W. Dimensional analysis of no-task human EEG using the rassberger-Procaccia method, 1992, Psychophysiol. Vol 29, pp. 182-191

Rapp P. E, Zimmerman I. D, Albano A. M, deGuzman G. C, Greenbaum N. N, & Bashore T. R. Experimental studies of chaotic neural behavior: Cellular activity and electroencephalographic signals, 1986, in Nonlinear Oscillations in Biology and Chemistry, ed. Othmer, H. G., Lecture Notes in Biomathematics, Vol. 66 (Springer, Berlin), pp. 175-205.

Reder L.M, Nhouyvanisvong A, Schunn C.D, Ayers M.S, Angstadt P, Hiraki K. A mechanistic account of the mirror effect for word frequency: a computational model of remember-know judgments in a continuous recognition paradigm. 2000, Exp Psychol Learn Mem Cogn, Vol. 26, pp. 294–320.

Rugg M.D, Allan K. Memory retrieval: an electrophysiological perspective.The new cognitive neurosciences. 2nd edition. Cambridge : MIT Press, 2000. pp. 805–16.

Sammer G. Working memory load and EEG-dynamics as revealed by point correlation dimension analysis. Int J Psychophysiol 1999;34:89–101.

Sammer G. Working-memory load and dimensional complexity of the EEG. Int J Psychophysiol 1996;24:173–82.

Schinkel S , Marwan N, Kurths J. Order patterns recurrence plots in the analysis of ERP data. 2007, Cogn Neurodyn . Vol 1., pp. 317–325.

Stam C.J. Nonlinear dynamical analysis of EEG and MEG:Review of an emerging field, 2005, Clinical Neurophysiology, Vol. 116, pp. 2266–2301

Sutton S, Braren M, Zubin J, & John E. R. Evoked potential correlates of stimulus uncertainty. 1965, Science, Vol. 150, pp. 1187–1188.

Takens F. Detecting strange attractors in turbulence, 1981, In: D. Rand, L.-S.Young (Eds.), Dynamical

فني- مهندسي دانشگاه شاهد مي باشد. زمينه های تحقیقاتی مورد علاقه ایشان پردازش سیگنال های EEG، ERP در حالات ذهنی و BCI، فشرده سازی سیگنال های حیاتی، پردازش آشوب گونه و زمان- فرکانس سیگنال های حیاتی، شبکه های عصبی مصنوعی، الگوریتم ژنتیک، شناسایی الگو، مدل سازی سیستم های بیولوژیکی و تقویت کننده های سیگنال های حیاتی می باشد.

نشانی رایانامک ایشان عبارت است از:

nasrabadi@shahed.ac.ir

Archive of SID

فصلنامه
دولتی

ش. علمی حا
سال ۱۳۸۸ شماره ۲ پیاپی ۱۲

